

УДК 533.951 7;532 594

ЧИСЛЕННОЕ МОДЕЛИРОВАНИЕ РАСПАДНОГО ВЗАИМОДЕЙСТВИЯ КАПИЛЛЯРНЫХ ВОЛН

Ю. М. Розенраух

Получены численные решения задачи об эволюции спектра турбулентности капиллярных волн на поверхности жидкости за счет распадного взаимодействия. Показано, что энергия начального распределения волн перекачивается в коротковолновую область. В области больших частот полученное решение соответствует найденной ранее аналитической асимптотике. При наличии источника волн в длинноволновой области и поглощения в коротковолновой в «периодическом» интервале устанавливается стационарный спектр колмогоровского типа.

Во многих практически интересных задачах теории слабой турбулентности главными нелинейными процессами являются распады и слияния волн. Распадное взаимодействие определяет, например, поведение спектров электронных колебаний в магнитоактивной плазме: геликонов, циклотронных волн и косых ленгмюровских колебаний. Важным вопросом динамики спектра турбулентности является вопрос о перераспределении энергии по масштабам турбулентности и, в частности, о направлении спектральной перекачки. Направление спектральной перекачки может быть найдено из общих свойств распадного взаимодействия. Динамика же спектра определяется конкретным видом вероятности взаимодействия и в каждом случае требует решения соответствующего кинетического уравнения. Решение этой задачи для волн в магнитоактивной плазме осложняется тем, что законы дисперсии и вероятности распадов этих волн являются анизотропными. Имеется, однако, простой физический пример, позволяющий подробно проследить за динамикой спектра при распадном взаимодействии: это капиллярные волны на поверхности жидкости. Частота и вероятность распада этих волн задаются следующими выражениями [1]:

$$\omega(k) = \sqrt{\sigma k^3}; \quad (1)$$

$$\omega(k, k_1, k_2) = \frac{\pi^5}{2} \sigma^{1/2} (k k_1 k_2)^{1/2} \left\{ \frac{(k - k_1)^2}{k_2^{1/2}} + \frac{(k - k_2)^2}{k_1^{1/2}} - \frac{(k_1 - k_2)}{k^{1/2}} \right\}^2. \quad (2)$$

Здесь k, k_1, k_2 — модули соответствующих волновых векторов; а σ — отношение коэффициента поверхностного натяжения к плотности жидкости. Изотропия закона дисперсии и вероятности распада позволяет свести задачу к одномерной. Однако и в этом случае точного аналитического решения задачи с начальными условиями получить не удается.

В настоящей работе численно решается задача об эволюции начального распределения капиллярных волн за счет распадного взаимодействия. Целью работы было выяснить направление спектральной перекачки, проследить, каким образом осуществляется перекачка энер-

гни в область диссипации в коротковолновой части спектра, а также получить стационарное распределение волн при наличии накачки в длинноволновой части спектра*.

1. Поведение спектра турбулентности капиллярных волн описывается кинетическим уравнением для спектральной функции $n_k(t)$. Предполагая спектр изотропным, можно проинтегрировать кинетическое уравнение по углу и перейти от переменной k к переменной ω , после чего это уравнение примет следующий вид:

$$\begin{aligned} \frac{\partial n_\omega}{\partial t} = & \int W(\omega, \omega_1, \omega_2) \delta(\omega - \omega_1 - \omega_2) (n_{\omega_1} n_{\omega_2} - n_\omega n_{\omega_1} - n_\omega n_{\omega_2}) \times \\ & \times (\omega_1 \omega_2)^{1/3} d\omega_1 d\omega_2 + 2 \int W(\omega_1, \omega, \omega_2) \delta(\omega_1 - \omega - \omega_2) \times \\ & \times (n_{\omega_1} n_{\omega_2} + n_\omega n_{\omega_1} - n_\omega n_{\omega_2}) (\omega_1 \omega_2)^{1/3} d\omega_1 d\omega_2. \end{aligned} \quad (3)$$

Здесь

$$W(\omega, \omega_1, \omega_2) = \frac{\omega(\omega, \omega_1, \omega_2)}{\sqrt{4(\omega_1 \omega_2)^{4/3} - (\omega^{4/3} - \omega_1^{4/3} - \omega_2^{4/3})^2}},$$

$$\omega(\omega, \omega_1, \omega_2) = \left(\frac{\pi}{2}\right)^3 \frac{(\omega \omega_1 \omega_2)^{1/3}}{\alpha^{7/6}} \left\{ \frac{(\omega - \omega_1)^{4/3}}{\omega_2^{1/3}} + \frac{(\omega - \omega_2)^{4/3}}{\omega_1^{1/3}} - \frac{(\omega_1 - \omega_2)^{4/3}}{\omega^{1/3}} \right\}^2.$$

Численное интегрирование уравнения (3) осуществляется в конечном интервале частот $0 < \omega \leq \omega_f$. Мы будем предполагать, что в области $\omega > \omega_f$ действует бесконечно сильное затухание, так что спектр в этой области равен нулю:

$$n(\omega) |_{\omega > \omega_f} = 0. \quad (4)$$

Перейдя в уравнении (3) к безразмерным переменным и проинтегрировав его по ω_2 , с учетом граничного условия (4) получим

$$\begin{aligned} \frac{\partial n(\omega)}{\partial \tau} = & \int_0^\omega W(\omega; \omega_1; \omega - \omega_1) (n_{\omega_1} n_{\omega - \omega_1} - n_\omega n_{\omega_1} - n_\omega n_{\omega - \omega_1}) (\omega - \omega_1)^{1/3} \times \\ & \times \omega_1^{1/3} d\omega_1 + 2 \int_0^{\omega_f} W(\omega_1, \omega, \omega_1 - \omega) (n_{\omega_1} n_{\omega_1 - \omega} + n_\omega n_{\omega_1} - n_\omega n_{\omega_1 - \omega}) \times \\ & \times (\omega_1 - \omega)^{1/3} \omega_1^{1/3} d\omega_1 - 2 \int_0^\omega W(\omega_1 + \omega_f, \omega, \omega_1 + \omega_f - \omega) n_\omega n_{\omega_1 + \omega_f - \omega} \times \\ & \times (\omega_1 + \omega_f)^{1/3} (\omega_1 + \omega_f - \omega)^{1/3} d\omega_1. \end{aligned} \quad (5)$$

Уравнение (5) решалось на ЭВМ в интервале частот $0 < \omega \leq 200$, число узлов сетки определялось возможностями машины и равнялось 200. На рис. 1 представлены результаты численного решения уравнения (5) с начальным условием

* Заметим, что направление перекачки энергии по спектру может быть найдено аналитически для любого изотропного стационарного степенного распределения волн (см. работу [5]).

$$n(\omega; 0) = \begin{cases} 0,01, & 0 < \omega \leq 10 \\ 0,01 \exp[-(\omega-10)^2/6], & 10 \leq \omega \leq 32 \\ 0, & \omega > 32 \end{cases} .$$

Полная энергия в исходном спектре равна

$$E_0 = \int_0^{\omega_f} \omega^{4/3} n(\omega) d\omega = 2,63.$$

Определим характерный масштаб спектра, содержащий основную долю его энергии, соотношением

$$\omega_0 = E_0 / \int_0^{\omega_f} n(\omega) \omega^{1/3} d\omega$$

(Выражение, стоящее в знаменателе, есть полное число волн в спектре.) Характерное время изменения энергосодержащей части спектра τ_0 оценочно равно

$$\tau_0 \sim (E_0 \omega_0)^{-1} \sim 0,04.$$

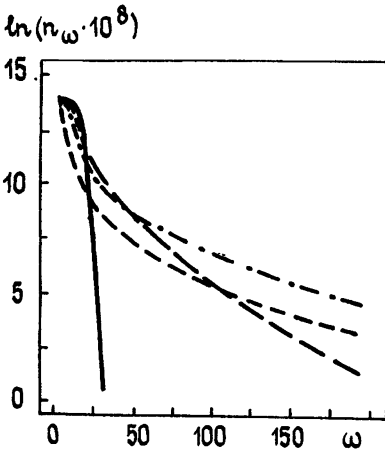


Рис. 1.

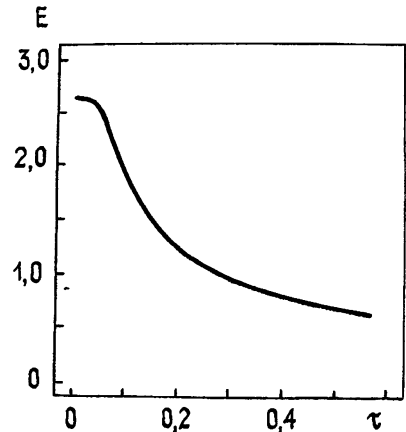


Рис. 2.

Рис. 1. Временная эволюция начального распределения волн. Сплошной линией показан исходный спектр, пунктирными — спектр в различные моменты времени: прерывистая — $\tau=0,026$; штрихпунктирная — $\tau=0,09$; штриховая — $\tau=0,57$.

На рис. 1 отчетливо прослеживается тенденция к распространению спектра в область больших частот. Энергия волн к моменту $\tau=0,03$ остается равной исходному значению (рис. 2), поскольку к этому времени лишь малая доля исходного числа волн достигает области поглощения. В дальнейшем, к моменту $\tau=0,06$ в интервале частот $36 \leq \omega \leq 96$ формируется распределение вида

$$n(\omega) \propto \omega^{-\beta}, \quad \beta = 2,83 \times (1 \pm 0,02),$$

а энергия волн начинает уменьшаться. С течением времени область частот, в которой распределение волн близко к степенному, увеличивается, и к моменту $\tau=0,45$ это распределение занимает диапазон частот $20 \leq \omega \leq 120$. Однако значение функции

$$\beta(\omega; \tau) \equiv -d(\ln n(\omega))/d(\ln \omega) \quad (6)$$

в этом диапазоне отличается от 2,83 и, слабо изменяясь с увеличением частоты, нарастает от 2,66 до 2,85 (заметим, что в других областях частотного интервала функция $\beta(\omega; \tau)$ значительно сильнее изменяется с изменением частоты).

Такое поведение спектра соответствует изложенной в работе [2] картине эволюции начального распределения волн. Как отмечалось в этой работе, в процессе эволюции из начального спектра вытягивается «хвост», имеющий двухмасштабную структуру. В области, прилегающей к энергосодержащей части, формируется спектр с постоянным по частоте потоком энергии P [1]:

$$n(\omega) = P^{1/2} \omega^{-17/6}. \quad (7)$$

В области более высоких частот спектр (7) переходит в круто спадающее с ростом частоты распределение, вид которого зависит от начальных условий. При этом закон движения коротковолновой границы распределения (7) $\omega_*(\tau)$ не чувствителен к конкретному виду спектра в области $\omega \gg \omega_*(\tau)$ и определяется потоком энергии из основной ($\omega \sim \omega_0$) части спектра.

Полученные в численном решении значения функции $\beta(\omega; \tau)$ отличаются от константы $\beta = 2,83$, соответствующей спектру (7). Это отличие обусловлено тем, что в процессе счета энергия исходного распределения уменьшается более чем в четыре раза, что приводит к уменьшению во времени потока энергии в коротковолновую область. Нетрудно оценить поправку к логарифмической производной $\Delta\beta(\omega; \tau)$, связанную с зависимостью потока от времени. Подставляя в кинетическое уравнение (5) решение в виде

$$n(\omega; \tau) = P^{1/2}(\tau) \omega^{-17/6} [1 + f(\omega; \tau)], \quad f(\omega; \tau) \ll 1 \quad (8)$$

и удерживая в левой части (5) производную по времени от потока, находим, что поправка к спектру (7) по порядку величины равна

$$f(\omega; \tau) \sim (\omega_0/\omega)^{10/3} d(\ln P)/d\tau. \quad (9)$$

Учитывая, что

$$P(\tau) = -dE/d\tau,$$

для искомой поправки $\Delta\beta(\omega; \tau)$ получаем следующее выражение:

$$\Delta\beta(\omega; \tau) \simeq -\frac{10}{3} \left(\frac{\omega_0}{\omega}\right)^{10/3} \frac{d}{d\tau} \left(\ln \frac{dE}{d\tau}\right). \quad (10)$$

Определив из результатов численного счета $\left. \frac{d}{d\tau} \left(\ln \frac{dE}{d\tau}\right) \right|_{\tau=0,45} \simeq 4$, получаем, что в указанном диапазоне частот $\Delta\beta$ уменьшается с увеличением частоты от 0,2 до 10^{-3} , а функция $\beta(\omega; \tau)$ нарастает от 2,63 до 2,83. Этот результат согласуется с приведенными выше значениями.

Полученное численное решение показывает, что энергия исходного спектра перекачивается в коротковолновую область. При этом в «инерционном» интервале формируется распределение (8) с уменьшающимся во времени потоком энергии.

2. В дополнение к выводу о перекачке энергии в коротковолновую область спектра представляет интерес выяснить, каким образом в «инерционном» интервале устанавливается распределение (8). Для этого следует более детально изучить раннюю стадию эволюции исходного спектра, увеличив интервал между ω_0 и ω_f . Поэтому в последующих вариантах начальное распределение волн выбиралось достаточно узким, сосредоточенным в низкочастотной области:

$$n(\omega; 0) = \begin{cases} 0,1, & 0 \leq \omega \leq 4 \\ 0,1 \exp[-(\omega-4)^2], & 4 \leq \omega \leq 8 \\ 0, & \omega > 8 \end{cases} .$$

Энергия волн в этом спектре $E_0 = 1,75$, а характерное время его изменения $\tau_0 \sim 0,15$. На рис. 3 представлена зависимость функции $\beta(\omega; \tau)$, определенной равенством (6), от частоты в различные моменты времени. Из рисунка видно, что на ранней стадии ($\tau < \tau_0$) в широком диапазоне частот эта зависимость является линейной,

$$\beta(\omega; \tau) = 2,3 + A\omega,$$

а к моменту времени $\tau = 0,36$ в диапазоне $20 \leq \omega \leq 100$ функция $\beta(\omega; \tau)$ принимает значение $\beta = 2,83 (1 \pm 0,01)$, соответствующее спектру (7). Изменение энергии к этому моменту составляет менее 8%. В работе [2] было отмечено существование у уравнения (3) убывающих асимптотических решений «взрывного» типа:

$$n(\omega; \tau) \propto \omega^{-10/3} (t_0 - \tau)^{-1}; \quad (11)$$

$$n(\omega, \tau) \propto (t_0 - \tau)^{\alpha-1} \omega^{-7/3} \exp[-c\omega(t_0 - \tau)^\alpha], \quad (12)$$

$$\alpha > 0, \quad 0 < \tau < t_0, \quad c\omega(t_0 - \tau)^\alpha \gg 1.$$

Здесь константы c , t_0 и α определяются конкретным видом начального распределения. Степенная асимптотика (11) допускает сшивку со спектром (7). Решение (12) также может быть сшито со спектром (7), при этом индекс автомодельности α равен двум. Соответствующая асимптотике (12) функция $\beta(\omega; \tau)$ является линейной функцией частоты, а величина

$$B(\omega; \tau) = (\beta(\omega; \tau) - 7/3)\omega^{-1} = c(t_0 - \tau)^\alpha \quad (13)$$

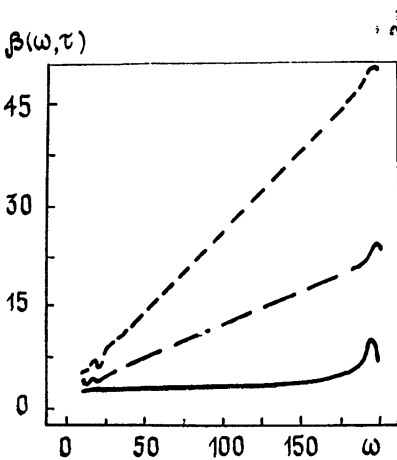


Рис. 3.

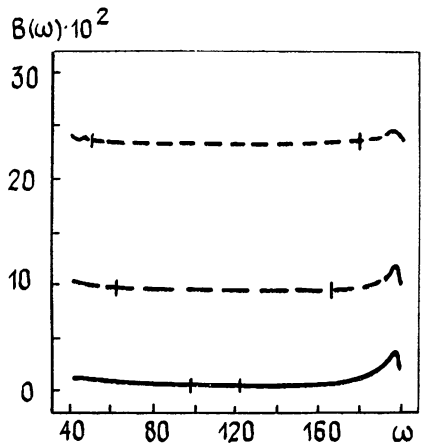


Рис. 4.

Рис. 3 Зависимость функции $\beta(\omega, \tau)$ от частоты в разные моменты времени. штриховая — $\tau = 0,05$, прерывистая — $\tau = 0,11$, сплошная — $\tau = 0,36$

Рис. 4 Функция $B(\omega, \tau)$, построенная по результатам численного решения уравнения (5), в различные моменты времени: штриховая — $\tau = 0,05$, прерывистая — $\tau = 0,11$, сплошная — $\tau = 0,36$

от частоты не зависит. На рис. 4 представлена зависимость функции $B(\omega; \tau)$ в разные моменты времени, построенная по результатам численного счета. Анализ численного решения показывает, что при $\tau \leq 0,12$ величина $B(\omega; \tau)$ в широком интервале частот не зависит от частоты,

что указывает на реализацию в этом интервале решения типа (12). На рис. 4 область частот, в которой изменение функции $B(\omega; \tau)$ не превышает $\pm 1\%$, отмечена вертикальными черточками. С течением времени эта область, как видно, сокращается. Это сокращение происходит по двум причинам. Во-первых, потому, что с течением времени граница применимости асимптотического решения (12) смещается в сторону больших частот, и, во-вторых, вследствие того, что с проникновением спектра в область больших частот начинает сказываться ограниченность счетного интервала. Из изложенного следует, что зависимость численного решения от частоты с хорошей точностью соответствует автомодельной асимптотике (12). Однако вследствие того, что счетный интервал недостаточно широк, проследить за временной зависимостью асимптотики (12) и с определенностью указать индекс автомодельности α не удастся. Отметим, впрочем, что подстановка $\alpha=2$ в соотношение (13) не противоречит результатам численного счета. Что же касается спектра (11), то ответить на вопрос о его реализации в коротковолновой области путем численного решения уравнения (5) не удалось. Асимптотика (11) может появляться лишь для достаточно плавно (степенным образом) убывающего с увеличением частоты начального распределения волн. Однако в этом случае даже на ранней стадии эволюции спектра влияние ограниченности счетного интервала оказывается весьма существенным. Чтобы выяснить вопрос о реализации асимптотики (11), следует значительно (в десятки раз) увеличить счетный интервал, что в настоящее время не представляется возможным.

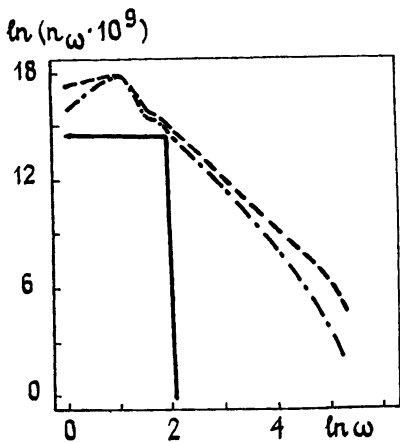


Рис. 5.

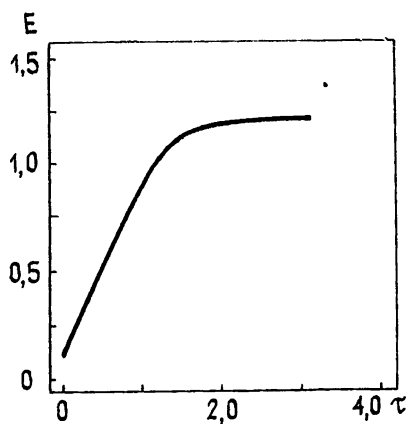


Рис. 6.

Рис. 5. Результаты численного решения уравнения (5) с источником волн (14). Показано распределение волн по частоте в различные моменты времени: сплошная — исходный спектр; штрихпунктирная — $\tau=1,0$; штриховая — $\tau=3,21$.

3. Численное интегрирование уравнения (5) позволяет решить задачу об установлении стационарного спектра волн при наличии накачки в низкочастотной области и затухания в области высоких частот. Аналогичная задача для системы нелинейных осцилляторов с модельным взаимодействием решалась ранее в работах [3, 4]. В этих работах было численно получено стационарное распределение колмогоровского типа. Для капиллярных волн таким стационарным распределением является спектр (7) с не зависящим от времени потоком энергии [1]. При решении кинетического уравнения (5) в правую часть его был добавлен источник, описывающий возбуждение волн в области низких частот и имеющий следующий вид:

$$Q = \begin{cases} 0,1 \exp[-(\omega-4)^2], & \omega \leq 8 \\ 0, & \omega > 8 \end{cases}. \quad (14)$$

Результаты численного интегрирования уравнения (5) с источником (14) приведены на рис. 5 и 6. На начальной стадии счета функция $n(\omega; \tau)$ быстро нарастает, а энергия в спектре увеличивается пропорционально времени. Однако к моменту $\tau \approx 2,0$ рост функции $n(\omega; \tau)$ прекращается и в интервале $20 \leq \omega \leq 116$ устанавливается стационарное распределение степенного вида:

$$n(\omega) \propto \omega^{-1}, \quad \beta = 2,38(1 \pm 0,02). \quad (15)$$

Увеличение энергии в спектре к этому времени прекращается, и дальнейшее изменение энергии, связанное с медленным изменением спектра в самой низкочастотной области, составляет менее трех процентов. В области $\omega > 116$ спектр убывает быстрее, чем степенным образом, поскольку в этой области влияние затухания волн на границе счетного интервала оказываются весьма существенным. Приведенные результаты показывают, что в «инерционном» интервале устанавливается стационарное распределение волн колмогоровского типа.

Таким образом, численное решение кинетического уравнения для капиллярных волн подтверждает сформулированный в работе [2] вывод о том, что значительная доля энергии исходного спектра перекачивается в коротковолновую область за время, по порядку величины равное времени взаимодействия волн в исходном спектре. Установление в «инерционном» интервале спектра (7) при выбранных нами начальных условиях имеет автомодельный характер и соответствует асимптотике (12). При наличии возбуждения волн в длинноволновой области численное решение уравнения (5) выходит на стационар, причем в широком диапазоне частот стационарное решение имеет вид степенного спектра с постоянным потоком энергии.

Автор выражает благодарность Б. Н. Брейзману и М. С. Пеккеру за многочисленные обсуждения в ходе выполнения работы.

ЛИТЕРАТУРА

1. Захаров В. Е., Филоненко Н. Н. — ПМТФ, 1967, № 5, с. 62.
2. Брейзман Б. Н., Розенраух Ю. М. — ЖЭТФ, 1984, 86, № 2, с. 462.
3. Захаров В. Е., Мушер М. С. — ДАН СССР, 1973, 209, № 5, с. 1063.
4. Musher S. L. — Phys. Letters, 1979, 70A, № 5—6, p. 361.
5. Кац А. В. — ЖЭТФ, 1976, 71, № 6, с. 2104.

Сибирский институт земного магнетизма,
ионосферы и распространения радиоволн
СО АН СССР

Поступила в редакцию
24 мая 1984 г.

NUMERICAL SIMULATION OF THE CAPILLARY WAVE DECAY INTERACTION

Yu. M. Rozenraukh

A numerical solution of the problem of capillary wave turbulent spectrum evolution due to decay interaction is presented. The energy of initial spectrum is shown to be transferred to the short-wavelength region. In this region the numerical solution corresponds to the analytically obtained asymptote. A stationary Kolmogorov-like distribution is established over an «inertial» interval in the presence of wave excitation and damping in long- and short-wavelength parts of the spectrum respectively.